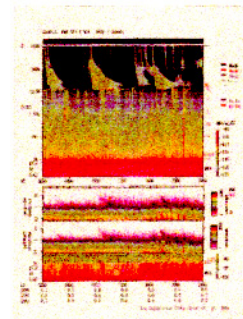


Type II, III burstについて

東京大学理学系研究科
船津大輔

GeotailでのType III burstの観測データ

Type III burstに典型的な、負の周波数のドリフトを持った波がいくつか観測されている

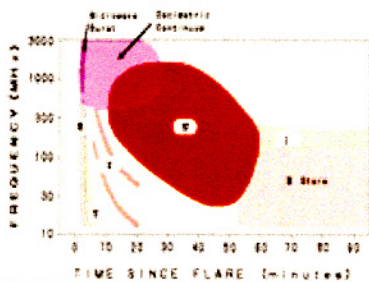


Type III burstが観測された1~2時間後に、電子の励起が見られる

太陽電波の種類

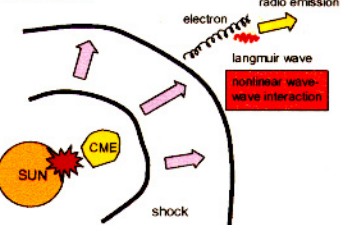
太陽フレアに伴う電波バーストはダイナミックスペクトルの形態で5つに分類されている。

→ Type I, II, III, IV, V radio burst



Type II radio burst

- フレア発生後数分から10分後に始まる。
- メートル波からデカメートル波帯で、ゆっくり振動散帯を下げていく。
- フレアに伴う衝撃波前面で発生するプラズマの波に起因する。
- 太陽からの距離に依存してプラズマ密度が減少するために、振動散帯が変化する。
衝撃波前面に存在する電子のビームが不安定よりラングミュア波を引き起こすのが契機



Type II, III burstの特徴

ダイナミックスペクトルで、負の傾きを持ち、徐々に振動散帯を下げている。

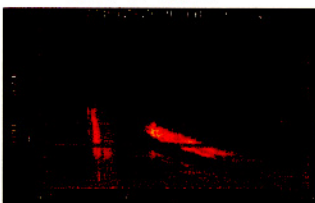
Type IIとType IIIでは、観測される振動散帯の時間変化が異なる。

観測され始める時間もType IIIの方が早い。

プラズマ振動fpと2倍のプラズマ振動2fpの振動散帯に電波は観測されている。

地球のパウショックでも2fpの電波は観測されている。

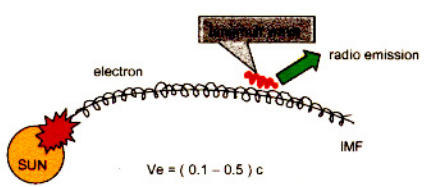
Type II & Type III



Type III radio emission

- フレア直後にメートル波からデカメートル波帯で現れる。
- 負の周波数ドリフト(約100MHz/s)を示すバースト。
- しばしば群となって出現する。

フレアからの高速の電子のビームの不安定からラングミュア波を励起するのが契機



太陽フレアからの電子が直接的に関与している

電波放射までのおおまかな流れとメカニズム

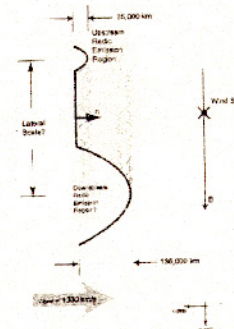
太陽フレアに伴う高速(0.1c-0.5c)の電子ビーム 衝撃波前面の電子ビーム

エレクトロンのビームが不安定を起こし、ラングミュア波をたてる。

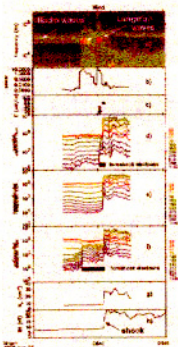
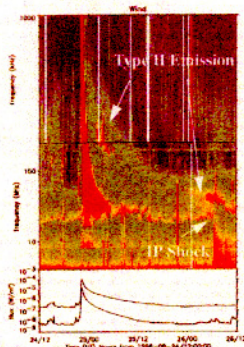


波動-波動相互作用によって f_p と $2f_p$ の電波を放射する。

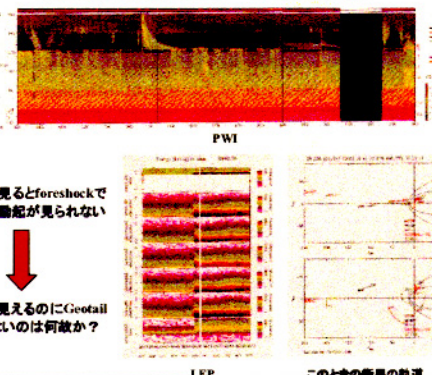
観測データから推定される IP Shock の構造



1998年8月24～26日のイベント



このときのGeotailでのデータを見てみると…



Geotailで見るとforeshockでの電子の動絆が見られない

Windで見えるのにGeotailで見えないのは何故か？

このときの衛星の軌道

24日

22:09:11 UT : 太陽フレア発生



加速された電子より type III burst 発生

IP shock 発生
($V_{shock} = 1300 \text{ km/s}$ と推定)

加速された電子より type II burst 発生

26日

06:38:40 UT : 磁場に反平行な向きの電子が励起
同時に電子のプラズマ高波数帯の波が励起

1分25秒

06:40:05 UT : 磁場に平行な向きの電子が励起
同時に電子のプラズマ高波数帯の波が励起

19秒

06:40:24 UT : IP shock が衛星に到達

Langmuir wave